

Аккумуляционный нанослой — 2D-электронный канал ультратонких интерфейсов Cs/n-InGaN

© Г.В. Бенеманская, В.Н. Жмерик, М.Н. Лапушкин, С.Н. Тимошнев

Физико-технический институт им. А.Ф. Иоффе Российской академии наук,
Санкт-Петербург, Россия

E-mail: galina.benemanskaya@mail.ioffe.ru

(Поступила в Редакцию 8 апреля 2008 г.)

Обнаружено формирование 2D-электронного канала — зарядового аккумуляционного слоя на поверхности InGaN(0001) *n*-типа при адсорбции субмонослойных покрытий Cs. Найдено, что фотоэмиссия из аккумуляционного слоя возбуждается светом из области прозрачности InGaN. Установлено, что глубиной потенциальной ямы и плотностью электронных состояний аккумуляционного слоя можно целенаправленно управлять за счет изменений Cs-покрытий. Показано, что в аккумуляционном слое наблюдаются эффекты размерного квантования. Проведены расчеты матричного элемента фотоэмиссии, получены энергетические параметры аккумуляционного слоя. В спектрах фотоэмиссии из аккумуляционного слоя обнаружена осцилляционная структура, природа которой связана с интерференцией Фабри-Перо.

Работа выполнена при поддержке РФФИ (грант № 07-02-00510 а), программы Президиума РАН П-03 (грант № 2.10 а) и Фонда содействия отечественной науке.

PACS: 73.20.-r, 73.21.Fg, 79.60.Dp

1. Введение

Существование зарядового аккумуляционного слоя (accumulation layer) — 2D-электронного канала на свободной поверхности — было недавно обнаружено для ряда узкозонных In-содержащих полупроводников InAs, InSb, InN [1–7]. Как известно формирование аккумуляционного слоя может быть вызвано различными причинами, например высокой собственной плотностью дефектов на поверхности [2,3,5], или индуцировано извне за счет адсорбции атомов металлов [1,4]. Аккумуляционный слой формируется непосредственно вблизи поверхности полупроводника *n*-типа, когда приповерхностный изгиб зон достаточно велик, так что край зоны проводимости на поверхности оказывается ниже положения уровня Ферми E_F . При этом образуется узкая потенциальная яма, в которой могут находиться заполненные электронные состояния. Пространственная ширина потенциальной ямы зависит от диэлектрической постоянной, степени легирования и других параметров полупроводника и может оказаться в наноразмерном диапазоне. В этом случае в потенциале аккумуляционного слоя происходит ограничение движения электронов в направлении нормали z к поверхности, т. е. наблюдается эффект размерного квантования. Вдоль поверхности (x, y) движение электронов не ограничено, и соответствующие компоненты энергии не квантуются. Такие электронные состояния являются двумерным электронным газом.

В настоящее время большинство публикаций посвящено исследованиям аккумуляционного слоя на поверхности узкозонных In-содержащих полупроводников. Существует всего несколько работ, в которых аккумуляционный слой был искусственно создан на поверхности широкозонного полупроводника GaN(0001)

n-типа [8–10]. Обнаружено, что аккумуляционный слой в этом случае возникает в процессе адсорбции атомов Cs или Ba. Широкозонные полупроводники — нитриды III группы, в частности, GaN и InGaN с небольшим содержанием In, являются одними из наиболее востребованных материалов для создания нового поколения современных устройств наноэлектроники и оптоэлектроники.

Интерес к исследованиям зарядового аккумуляционного слоя вызван возможностью получения новой фундаментальной информации о свойствах неординарных наноразмерных объектов, а также очевидной актуальностью для технического применения в наноэлектронике. При этом следует подчеркнуть возможность управления параметрами аккумуляционного слоя в широких пределах. Отметим, что на чистой поверхности *n*-GaN аккумуляционный слой не образуется, в то время как существование аккумуляционного слоя на поверхности узкозонного полупроводника *n*-InN доказано рядом экспериментов [6,7]. Показано также, что для тройного соединения $n\text{-In}_x\text{Ga}_{1-x}\text{N}(0001)$ существует критическая концентрация $x > 0.3$, при которой начинается формирование аккумуляционного слоя [7]. В связи с этим представляет интерес исследование электронных свойств поверхности и возможности индуцированного формирования аккумуляционного слоя в случае соединения $n\text{-In}_x\text{Ga}_{1-x}\text{N}(0001)$ при $x \leq 0.3$, когда ширина запрещенной зоны достаточно большая $E_g > 2$ eV.

2. Методика эксперимента

Исследован образец *n*-типа $\text{I}_{0.1}\text{Ga}_{0.9}\text{N}(0001)$ толщиной 70 nm, который получен методом молекулярно-пучковой эпитаксии с плазменной активацией (РА МВЕ)

на буферном 800 нм слое GaN, сформированном методом РА МВЕ. Буферный слой нанесен на $2.5\ \mu m$ слой GaN, который выращен методом эпитаксии из металлоорганических соединений (MOCVD) на сапфировой подложке. Слой InGaN толщиной 70 нм был выращен из материала, обогащенного избыtkом In по сравнению со стехиометрическим составом ($(Ga+In)/N = 1.55$). Относительно высокая температура роста ($T = 630^\circ C$) позволяла избежать образования микрокапель In на поверхности InGaN [12]. Данные атомно-силовой микроскопии свидетельствуют об атомарно-гладкой поверхности образца. Результаты рентгеновского дифракционного анализа указывают на высокоупорядоченную структуру и отсутствие фазового разделения в слое InGaN. Об этом свидетельствует узкий одиночный симметричный пик и четко выраженные интерференционные полосы [13]. Образец имеет концентрацию примесей $\sim 5 \cdot 10^{17} \text{ cm}^{-3}$. Ширина запрещенной зоны $In_{0.1}Ga_{0.9}N(0001)$ соответствует $E_g = 3.1 \text{ eV}$.

Эксперимент проводился *in situ* в сверхвысоком вакуме $P \sim 5 \cdot 10^{-11} \text{ Torr}$ при комнатной температуре. Образец подвергался отжигу при температуре $450^\circ C$, после этого на поверхность напылялся атомарно-чистый Cs. Покрытия Cs определялись по методике [9], их толщина соответствовала субмонослоиному диапазону. При этом учитывалось, что коэффициент прилипания Cs равен единице и не изменяется по крайней мере в пределах монослоя. Кроме того, предполагалось, что при малой концентрации атомов In один моносвой (1 ML) Cs на поверхности $In_{0.1}Ga_{0.9}N(0001)$ можно считать равным одному монослою Cs на поверхности GaN(0001). Отметим, что 1 ML соответствует концентрации, при которой один адатом металла приходится на один атом галлия на поверхности GaN(0001) 1×1 , и равняется $9.9 \cdot 10^{14} \text{ at./cm}^2$ [14].

Для исследования электронных свойств интерфейса Cs/n -InGaN(0001) использовался метод пороговой фотоэмиссионной спектроскопии при возбуждении *s*-поляризованным светом [9,15], который ранее использовался для изучения аккумуляционного слоя в системах Ba, Cs/n -GaN(0001). Данный метод является крайне эффективным инструментом для изучения аккумуляционного слоя, так как он обеспечивает зондирование объемных электронных состояний в достаточно узкой приповерхностной области образца. В пороговой области возбуждения глубина зондирования соответствует глубине выхода фотоэлектронов и составляет 20–30 нм, что достаточно хорошо совпадает с данными о параметрах потенциала аккумуляционного слоя. Отметим также, что при использовании *s*-поляризации (в отличие от *p*-поляризации) не происходит возбуждения поверхностных состояний [9]. Фотоэмиссия возбуждалась монохроматическим светом, угол падения света на образец составлял 45° . Изучались спектры $I_S(hv)$ интегрального фотоэмиссионного тока и спектры отражения $R_S(hv)$, погрешность не превышала 5%.

3. Экспериментальные результаты

В исходном состоянии чистой поверхности n - $In_{0.1}Ga_{0.9}N(0001)$ фотоэмиссия при возбуждении светом из области прозрачности $h\nu < 3 \text{ eV}$ не наблюдается. Однако появление фотоэмиссионного тока обнаружено уже при малых Cs покрытиях $\sim 0.1 \text{ ML}$. На рис. 1 представлены зависимости фототока $I_S(hv)$ для интерфейса Cs/n -InGaN при трех различных субмонослоинных покрытиях цезия. Видно, что увеличение покрытия Cs приводит к увеличению фотоэмиссионного тока и резкому спаду фотоэмиссионного порога $h\nu_S$. Спектральная полоса возбуждения фотоэмиссии достаточно узкая, при этом максимальная полуширина соответствует $\sim 0.52 \text{ eV}$ и практически не изменяется при покрытиях Cs больших, чем 0.4 ML . В коротковолновой области спектра резко обрывается, так что при энергиях возбуждения $h\nu > 3.3 \text{ eV}$ фотоэмиссия не наблюдается.

Так как фотоэмиссия наблюдается при возбуждении в области прозрачности n -InGaN, то этот эффект не может быть объяснен возбуждением электронов валентной зоны. Таким образом, обнаружено, что в процессе адсорбции Cs происходит формирование узкой и глубокой потенциальной ямы аккумуляционного слоя с захватом электронов зоны проводимости. В случае фотоэмиссии из аккумуляционного слоя фотоэмиссионный порог равен работе выхода $h\nu_S = \varphi$ [8,9]. На вставке (рис. 1) для интерфейса Cs/n -InGaN приведена работа выхода φ как функция покрытия толщины Cs. Работа выхода резко уменьшается с ростом цезиевого покрытия и достигает минимального значения $1.45 \pm 0.03 \text{ eV}$ при Cs-покрытии $\sim 0.7 \text{ ML}$. Дальнейшее увеличение покрытия до 1 ML приводит к незначительному увеличению работы выхода на несколько сотых eV.

В узкой потенциальной яме аккумуляционного слоя в *z*-направлении должен существовать по крайней мере

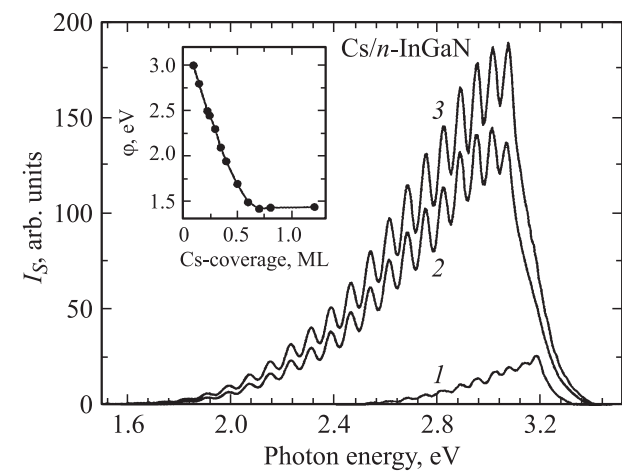


Рис. 1. Спектральные зависимости фототока $I_S(hv)$ при возбуждении *s*-поляризованным светом интерфейса Cs/n -InGaN(0001) при различных толщинах Cs-покрытий, ML: 1 — 0.23, 2 — 0.6, 3 — 1.0. На вставке приведено изменение работы выхода.

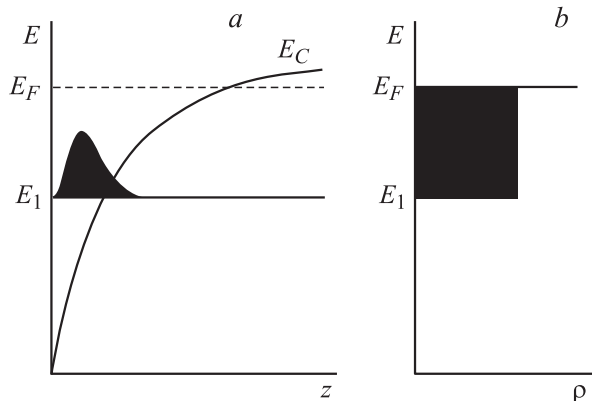


Рис. 2. Приповерхностный изгиб зоны проводимости с образованием одного уровня E_1 размерного квантования в аккумуляционном слое (a) и зарядовая плотность $\rho(x, y)$ в плоскости поверхности (b).

один уровень размерного квантования (рис. 2). В плоскости поверхности (xy) квантования нет, и имеется квазивырожденный 2D-электронный газ с плотностью электронных состояний $\rho(E) = \text{const}$. Именно эти электронные состояния из аккумуляционного слоя возбуждаются s -поляризованным светом. Природа индуцированного формирования потенциала аккумуляционного слоя может быть связана в нашем случае с созданием за счет адсорбции внешнего положительного заряда атомов Cs и аккумуляции отрицательного заряда электронов, захваченных на 2D-уровни размерного квантования.

Изменение толщины покрытия Cs вплоть до 1 ML приводит к изменению интенсивности фотоэмиссионного тока. Это вызвано в основном изменениями потенциала аккумуляционного слоя, который индуцирован адсорбцией атомов Cs, и в меньшей степени обусловлено изменением работы выхода φ системы, поскольку φ практически не изменяется при Cs-покрытиях, больших чем 0.5 ML. Обнаруженный эффект формирования на поверхности n -InGaN(0001) аккумуляционного слоя и модификация его параметров при адсорбции Cs дает возможность целенаправленно менять параметры аккумуляционного слоя в широких пределах.

Прямое наблюдение фотоэмиссии из аккумуляционного слоя при отсутствии возбуждения объемной фотоэмиссии из валентной зоны n -InGaN позволяет определить некоторые параметры потенциальной ямы. Резкое уменьшение фотоэмиссии при $h\nu > 3.1$ eV, отсутствие фотоэмиссии при энергиях возбуждения больших, чем 3.3 eV, а также отсутствие скачков или точек излома фотоэмиссионных зависимостей $I_S(h\nu)$ позволяет допустить, что имеется по крайней мере одна зона E_1 заполненных электронных состояний ниже уровня Ферми. При расчете параметров аккумуляционного слоя мы предполагаем наличие одной зоны $\rho(E) = \text{const}$ (рис. 2). Модифицированная теория пороговой фотоэмиссии Урбаха [15,16] позволяет определить матричный элемент

$|M_S|^2$ и энергетическое положение зоны E_1 относительно уровня Ферми E_F . Предполагается, что основной вклад вносят оптические переходы при возбуждении электронов аккумуляционного слоя. Матричный элемент $|M_S|^2$ определяется при минимизации среднеквадратичного отклонения экспериментального фотоэмиссионного спектра от теоретического спектра. На рис. 3 представлены результаты описанного выше подхода. Кривая 1 соответствует экспериментальному спектру $I_S(h\nu)$ при покрытии 0.5 ML. Как видно, расчетная кривая 2 хорошо совпадает с экспериментальной кривой. При расчете мы не принимали во внимание интерференцию света в подложке. Рассчитанный матричный элемент $|M_S|^2$ приведен на рис. 3 (кривая 3). Для данного матричного элемента значение E_1 соответствует ~ 0.4 eV. Увеличение покрытия Cs приводит к незначительному росту энергии E_1 до значения ~ 0.45 eV при монослоистом покрытии.

Полученные нами результаты и оценки свидетельствуют о том, что наибольшие изменения потенциала аккумуляционного слоя происходят в начальной стадии адсорбции до Cs-покрытий ~ 0.4 ML, в то время как дальнейшее увеличение покрытия Cs незначительно меняет глубину потенциальной ямы. Тем не менее увеличение покрытия Cs до значений больших, чем 0.4 ML, при практически неизменной глубине потенциальной ямы приводит к другому эффекту, а именно росту плотности состояний. Все это дает нам возможность управлять параметрами аккумуляционного слоя, такими как глубина потенциальной ямы и плотность электронных состояний.

Интенсивность фототока в максимуме для интерфейса Cs/ n -InGaN(0001) сравнима с интенсивностью фототока для традиционной системы Cs/GaAs и составляет $\sim 20\%$ от интенсивности фототока для интерфейса Cs/ n -GaN(0001). Приведенные оценки получены с

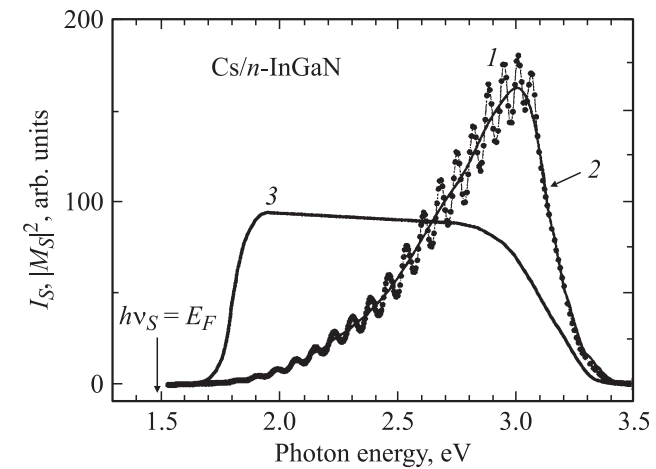


Рис. 3. Спектральная зависимость фототока $I_S(h\nu)$ при возбуждении s -поляризованным светом для Cs-покрытия толщиной 0.5 ML на поверхности n -InGaN(0001). 1 — экспериментальный спектр, 2 — рассчитанный спектр, 3 — матричный элемент фотоэмиссии $|M_S|^2$.

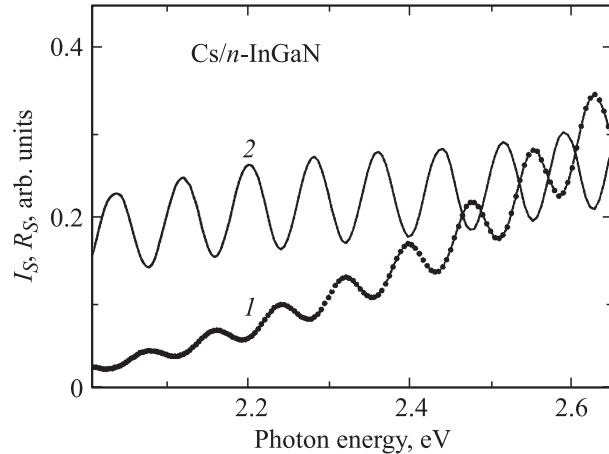


Рис. 4. Осцилляции в спектрах фототока $I_S(hv)$ (1) и отражения $R_S(hv)$ (2) для интерфейса $Cs/n\text{-InGaN}(0001)$ при толщине Cs-покрытия 0.7 ML.

использованием данных [9,17]. Необходимо также отметить, что в нашем случае в $Cs/n\text{-InGaN}$ по сравнению с $Cs/n\text{-GaN}$ спектральная полоса возбуждения фотоэмиссии более узкая, и вид матричного элемента резко отличается от колоколообразной формы в случае $Cs/n\text{-GaN}$ [10,11]. Значительно меньшая интенсивность фотоэмиссии в случае $Cs/n\text{-InGaN}$ по сравнению с $Cs/n\text{-GaN}$ при одинаковых работах выхода систем указывает на то, что плотность состояний в аккумуляционном слое для $Cs/n\text{-InGaN}$ меньше, чем для $Cs/n\text{-GaN}$. Проведенные нами оценки глубины потенциальной ямы показывают также, что потенциальная яма в случае $Cs/n\text{-InGaN}$ более мелкая, чем для $Cs/n\text{-GaN}$.

Создание аккумуляционного слоя на поверхности широкозонного полупроводника обусловило появление нового для фотоэмиссии эффекта, а именно возникновение осцилляционной структуры в спектральной зависимости фотоэмиссионного тока. Обнаружено, что осцилляции в спектрах $I_S(hv)$ фотоэмиссии (рис. 1) наблюдаются во всем исследованном нами диапазоне Cs-покрытий. Амплитуда осцилляций в спектре $I_S(hv)$ увеличивается по мере уменьшения работы выхода. На рис. 4 приведены спектральные зависимости фотоэмиссии $I_S(hv)$ (кривая 1) и коэффициента отражения света $R_S(hv)$ (кривая 2), полученные *in situ* для интерфейса $Cs/n\text{-InGaN}$ при Cs-покрытии ~ 0.7 ML. Видны ярко выраженные осцилляции в обоих спектрах. Следует отметить, что максимумы коэффициента отражения света совпадают с минимумами фототока. Природа осцилляций в спектре отражения хорошо известна и связана с интерференцией Фабри–Перо в плоскопараллельной пластине образца при возбуждении в области прозрачности. В традиционных фотокатодах ($Cs/GaAs$ и др.) природа фотоэмиссии связана с возбуждением электронных состояний валентной зоны, что соответствует полосе фундаментального поглощения, в которой интерференционные эффекты не возникают. Наличие аккумуляционного слоя дает уни-

кальную возможность наблюдать в спектрах фотоэмиссии эффект осцилляций фототока, природа которых также связана с интерференцией Фабри–Перо между двумя параллельными поверхностями образца GaN. Следует подчеркнуть, что возбуждение фотоэмиссии происходит в области прозрачности GaN. Поскольку возбуждающий свет падает на образец со стороны аккумуляционного слоя, фотоэмиссия может возбуждаться как падающим светом, так и многократно отраженным от обратной стороны образца. Периоды осцилляций фототока и коэффициента отражения совпадают и соответствуют ~ 0.08 eV.

Расчет толщины образца по периоду осцилляций дает значение $3.32 \mu m$, что хорошо коррелирует с данными по эпитаксиальному росту. В расчете учитывалось значение $n = 2.33$ для показателя преломления. Коэффициенты амплитудной модуляции фототока δ_{ph} и коэффициента отражения δ_r совпадают с хорошей точностью: $\delta_{ph} = \delta_r = 0.23 \pm 0.02$. Совпадение периода осцилляций, коэффициентов амплитудной модуляции, а также противофазное поведение осцилляций фототока и коэффициента отражения подтверждают тот факт, что природа фотоэмиссии связана с возбуждением электронов из узкой приповерхностной области, в которой расположен аккумуляционный слой.

Таким образом, в работе обнаружено и исследовано формирование на поверхности $n\text{-In}_{0.1}\text{Ga}_{0.9}\text{N}(0001)$ аккумуляционного нанослоя, индуцированного адсорбцией атомов Cs. Возникновение потенциала аккумуляционного слоя и появление уровня размерного квантования наблюдаются при очень малых Cs-покрытиях меньших, чем 0.1 ML. Рост цезиевого покрытия приводит к резкому увеличению глубины потенциальной ямы аккумуляционного слоя и росту плотности состояний. Максимально наблюдаемое значение энергии первого уровня размерного квантования соответствует ~ 0.45 eV, что достигается при монослоистом Cs-покрытии. Наличие аккумуляционного слоя в зоне проводимости InGaN позволяет наблюдать новый для фотоэмиссии эффект — появление осцилляционной структуры в спектрах фотоэмиссии. Природа эффекта связана, во-первых, с интерференцией Фабри–Перо в плоскопараллельной пластине образца при облучении светом из области прозрачности InGaN и во-вторых, с возбуждением фотоэмиссии из аккумуляционного нанослоя.

Авторы выражают благодарность С.В. Иванову за плодотворные дискуссии, а также М.С. Дунаевскому за помощь в эксперименте.

Список литературы

- [1] M.G. Betti, R. Biagi, U. del Pennino, N. Mariani, M. Pedio. Phys Rev. B **53**, 13 605 (1996).
- [2] L. Ölsson, C.B.M. Andersson, M.C. Hakansson, J. Kanski, L. Ilver, U.O. Karlsson. Phys. Rev. Lett. **76**, 3626 (1996).

- [3] V.Yu. Aristov, G. Le Lay, V.M. Zhilin, G. Indlekofer, C. Grupp, A. Taleb-Inrahimi, P. Soukiassian. Phys. Rev. B **60**, 7752 (1999).
- [4] M.G. Betti, V. Corradini, G. Bertoni, P. Cassarini, C. Mariani, A. Abramo. Phys. Rev. B **63**, 155 315 (2001).
- [5] G.R. Bell, T.S. Jones, C.F. McConville. Appl. Phys. Lett. **71**, 3688 (1997).
- [6] I. Mahbood, T.D. Veal, L.F.J. Piper, C.F. McConville. Phys. Rev. B **69**, 201 307 (2004).
- [7] T.D. Veal, P.H. Jefferson, L.F.J. Piper, C.F. McConville, T.B. Joyce, P.R. Chalker. Appl. Phys. Lett., **89**, 202 110 (2006).
- [8] G.V. Benemanskaya, V.S. Vikhnin, N.M. Shmidt, G.E. Frank-Kamenetskaya, I.V. Afanasiev. Appl. Phys. Lett. **85**, 1365 (2004).
- [9] Г.В. Бенеманская, Г.Э. Франк-Каменецкая, Н.М. Шмидт. ЖЭТФ **130**, 506 (2006).
- [10] Г.В. Бенеманская, М.Н. Лапушкин, С.Н. Тимошнев. ФТТ **49**, 613 (2007).
- [11] G.V. Benemanskaya, S.V. Ivanov, M.N. Lapushkin. Solid State Commun. **143**, 476 (2007).
- [12] S.V. Ivanov, V.N. Jmerik, T.V. Shubina. J. Cryst. Growth **301**, 465 (2007).
- [13] В.Н. Жмерик, А.М. Мизеров, А.М. Шубина. ФТП **42**, 630 (2008).
- [14] V.-H. Kim, S.-N. Lee, Ch. Huh. Phys. Rev. B **61**, 10 966 (1999).
- [15] Г.В. Бенеманская, М.Н. Лапушкин, М.И. Урбах. ЖЭТФ **102**, 1664 (1992).
- [16] A. Liebsch, G.V. Benemanskaya, M.N. Lapushkin. Surf. Sci. **302**, 303 (1994).
- [17] И.В. Афанасьев, Г.В. Бенеманская, Г.Э. Франк-Каменецкая, В.С. Вихнин, Н.М. Шмидт. Патент РФ на изобретение № 2249877 (2005).